

## 線路の損失 抵抗損と誘電損 02 版

### 1. 損失線路の等価回路と基本式 <sup>1),2),3)</sup>

分布定数の等価回路は、通常、インダクタ  $L$  とキャパシタ  $C$  で構成された、いわゆる無損失線路である。

実際の回路には、図 1 に示すように、インダクタと直列に抵抗  $R$  が存在し、キャパシタと並列に漏れコンダクタンス  $G$  が存在するので、有損失線路である。なお、同図は、微小区間の線路長  $\Delta x$  における等価回路であり、回路素子は、単位長あたりの値であるから、それぞれ  $\Delta x$  を乗じて示している。

分布定数線路に、これらの損失項を盛り込むと、計算が複雑となり、解析的な解を求めるのは容易ではない。

図 1 の電圧と電流の式を立てる。

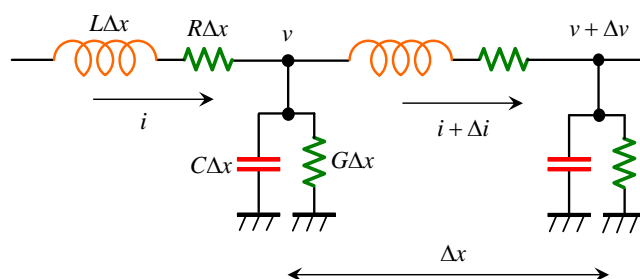


図 1. 損失線路の等価回路

$$-\Delta v = L\Delta x \frac{di}{dt} + R\Delta xi \dots\dots\dots (1)$$

$$-\Delta i = C\Delta x \frac{dv}{dt} + G\Delta xv \dots\dots\dots (2)$$

両式を  $\Delta x$  で割って、 $\Delta x \rightarrow 0$  とすると式(3)および式(4)の偏微分方程式となる。

$$-\frac{\partial v}{\partial x} = L \frac{\partial i}{\partial t} + Ri \dots\dots\dots (3)$$

$$-\frac{\partial i}{\partial x} = C \frac{\partial v}{\partial t} + Gv \dots\dots\dots (4)$$

上式をそれぞれラプラス変換する。

$$-\frac{dV}{dx} = sLI + RI \dots\dots\dots (5)$$

$$-\frac{dI}{dx} = sCV + GV \dots\dots\dots (6)$$

式(5)の両辺を  $x$  で微分して式(6)を代入すると、

$$\frac{d^2V}{dx^2} - (sL + R)(sC + G)V = 0 \dots\dots\dots (7)$$

を得る。式 (7) は、

$$V = e^{\pm\sqrt{(sL+R)(sC+G)}x} \dots\dots\dots (8)$$

の解を持つ。この指数の肩の根号は、

$$\sqrt{(sL+R)(sC+G)} = s\sqrt{LC} \left\{ 1 + \frac{1}{s} \left( \frac{G}{C} + \frac{R}{L} \right) + \frac{1}{s^2} \frac{RG}{LC} \right\}^{\frac{1}{2}} \dots\dots\dots (9)$$

であり、右辺{}内の第3項は、 $s = j\omega$ と置いたときに  $G \ll \omega C, R \ll \omega L$  と考えると1に比べて無視できるので、

$$\sqrt{(sL+R)(sC+G)} \cong s\sqrt{LC} \left\{ 1 + \frac{1}{2s} \left( \frac{G}{C} + \frac{R}{L} \right) \right\} = \frac{s}{u} + \frac{1}{2} \left( GZ_0 + \frac{R}{Z_0} \right) \dots\dots\dots (10)$$

となる。ここに、 $u = 1/\sqrt{LC}$ 、 $Z_0 = \sqrt{L/C}$ である。 $u$ 、 $Z_0$ は、無損失のときに、線路を信号が進む速度および線路の特性インピーダンスである。

式(8)は、

$$V = \exp \left[ \pm \left\{ \frac{1}{2} \left( GZ_0 + \frac{R}{Z_0} \right) + \frac{s}{u} \right\} x \right] \dots\dots\dots (11)$$

となり、その一般解は、

$$V = A_1(s) e^{-\left(\alpha x + \frac{x}{u} s\right)} + A_2(s) e^{+\left(\alpha x + \frac{x}{u} s\right)} \dots\dots\dots (12)$$

である。ここに、

$$\alpha = \frac{1}{2} \left( GZ_0 + \frac{R}{Z_0} \right) \dots\dots\dots (13)$$

である。

式(12)の第1項の、 $A_1(s) e^{-\alpha x}$ は、 $x$ の増加する方向に振幅が指数的に減衰し、 $A_1(s) e^{-\frac{x}{u} s}$ は、 $x/u$ に比例する遅延である。したがって、第1項は、 $x$ の増加する方向に進む波、すなわち右行波である。同様に、同式第2項は、逆方向に進む左行波である。

## 2. 誘電損<sup>3),4)</sup>

ボードを構成する誘電体(例えばガラスエポキシ)の誘電率は、厳密には実数ではなく、わずかな虚数部を含む。したがって、等価回路で表すと、図1に示すように、キャパシタ  $C$  に漏れコンダクタンス  $G$  が並列に接続された形になる。

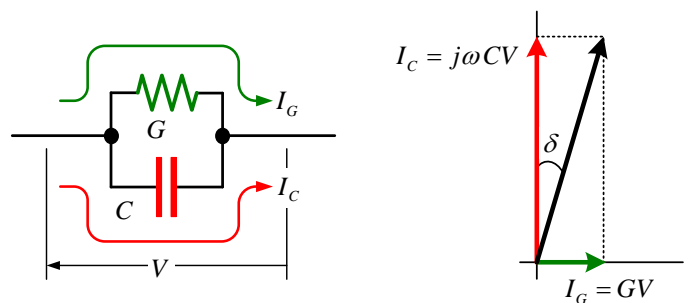
図2(a)は、この  $C$  と  $G$  の部分抜き出したものである。両端の電圧を  $V$  とすると、 $C$  に流れる電流  $I_C$  と  $G$  に流れる電流  $I_G$  は、

$$I_C = j\omega CV \dots\dots\dots (14)$$

$$I_G = GV \dots\dots\dots (15)$$

である。同図(b)はこれらを複素平面上に表したものである。両者のなす角を  $\delta$  とすると、漏れコンダクタンス  $G$  は、

$$G = \omega C \tan \delta \dots\dots\dots (16)$$



(a) キャパシタとコンダクタの電流

(b) 複素平面表示

図2 誘電正接

と表される.

この  $\delta$  を損失角といい,  $\tan \delta$  を誘電正接または loss tangent という. 一般に使用されている, ガラスエポキシ基板 (FR-4) では,  $\tan \delta = 0.02$  程度であるが, 低損失用に 0.005 以下のものも実用化されている.

式 (11) の右辺を展開したときの第 1 項が誘電損であり, 同式に式 (15) を代入し,  $\sqrt{L/C} = Z_0$ ,  $\sqrt{LC} = \sqrt{\epsilon_r}/c$ ,  $c = 3 \times 10^8$  m/s,  $\log(e) = 0.434$  であるから, 単位長あたりのデシベルで表した誘電損は,

$$20 \times \log \left\{ \exp \left( \frac{1}{2} G Z_0 \right) \right\} = 91 \times \tan \delta \times \sqrt{\epsilon_r} \times f \text{ (GHz)} \text{ (dB/m)} \dots\dots\dots (17)$$

となって, デシベル表記の損失が,  $\tan \delta$  と周波数  $f$  とに比例することが分かる.

### 3. 抵抗損<sup>3),4)</sup>

#### 3.1. 表皮効果

導体に高周波の電流を流すと, 電流は表面に集まろうとして, 内部の電流は小さくなり, 見かけ上の断面積は小さくなる. このことを, 表皮効果 (skin effect) という.

図 3 は, 導体表面の電流密度を 1 に正規化したときの, 表面からの距離における電流密度を示したものである. 導体表面の電流密度を  $I_0$  とすると, 表面からの距離  $x$  における電流密度  $I_x$  は, 図 3 に示すように, 表面から指数関数で減少する. すなわち,

$$I_x = I_0 e^{-\frac{x}{d}} \dots\dots\dots (18)$$

である. ここに,  $d$  は表皮の深さ (skin depth) で,

$$d = \sqrt{\frac{2}{\omega \sigma \mu}} \dots\dots\dots (19)$$

と表され, 周波数の平方根に反比例する. ここに,  $\omega$  は, 高周波電流の角周波数,  $\sigma$  は導体の導電率,  $\mu$  は導体の透磁率である. 図 3 のグラフの上部の横軸の目盛りは, 銅の 1GHz における表面からの距離を示す.

図 3 の指数関数 (右上がりの斜線部) を深さ方向に無限積分すると, 図 3 の緑色の矩形の面積に等しくなる. すなわち,

$$\sum I = \int_0^{\infty} I_x dx = d \dots\dots\dots (20)$$

である. すなわち, 全電流は, 表面と同じ電流が深さ  $d$  まで均等に流れているとしたとき (直流の場合) の電流に等しい. これが表皮の深さという意味でもある.

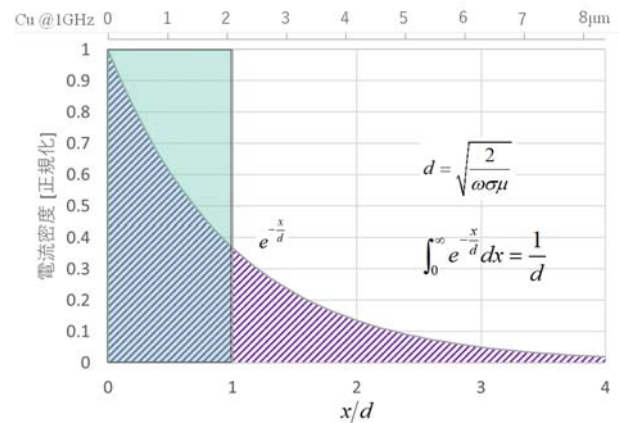


図 3 表皮効果(電流密度)

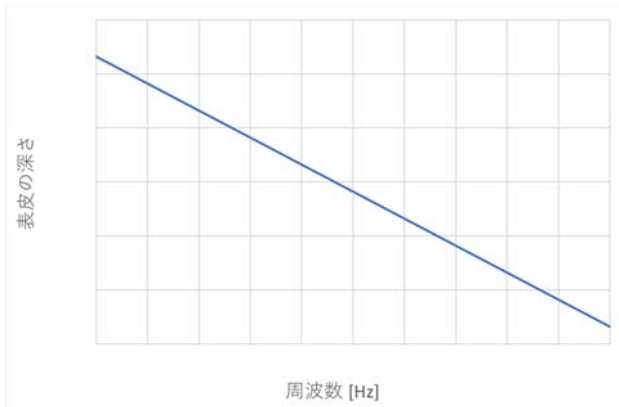


図 4 表皮の深さの周波数特性

図 4 は、銅の表皮の深さを周波数に対して示したものであり、図 5 は、実際に表皮(電流密度)を解析した、100MHz と 1GHz の結果である。図は、パターン幅  $W = 100\mu\text{m}$  , パターン厚  $t = 18\mu\text{m}$  の例である。

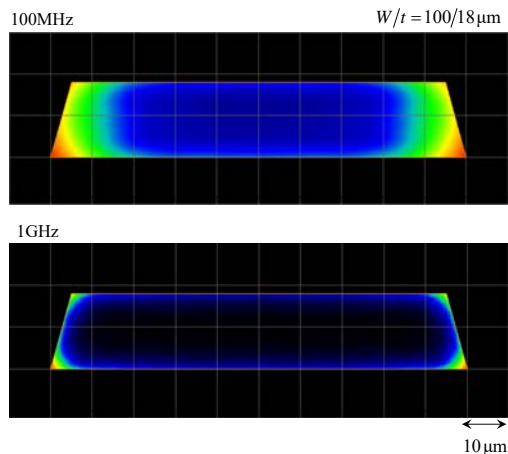


図 5 表皮の解析結果

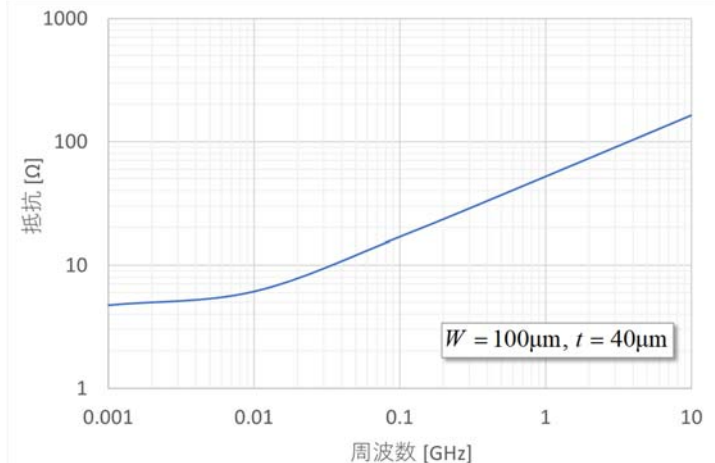


図 6 表皮抵抗の解析結果

### 3.2. 表皮抵抗と抵抗損

表皮の深さが周波数の平方根に反比例するので、ボードのパターンの抵抗も周波数の平方根に比例することが予想できる。図 6 は表皮抵抗の解析例である。高い周波数では、抵抗は周波数の平方根に比例して増加し、低い周波数では直流に向かって、直流抵抗に漸近する。

式(11)の右辺の第 2 項が抵抗による損失(抵抗損)である。

単位長あたりのデシベルで表した抵抗損は、

$$20 \times \log \left\{ \exp \left( \frac{R}{2Z_0} \right) \right\} = 10 \times \log(e) \times \frac{R}{Z_0} \text{ (dB/m)} \dots\dots\dots (21)$$

となり、抵抗の値に比例する。

図 7 に、式(17)の誘電損を、パターン幅  $W$  を変化させて、また、式(21)の抵抗損を、 $\tan \delta$  を変化させて示す。

線路損失が周波数特性を持つため、伝送波形に大きな影響を及ぼす。これについては、また改めて述べる。

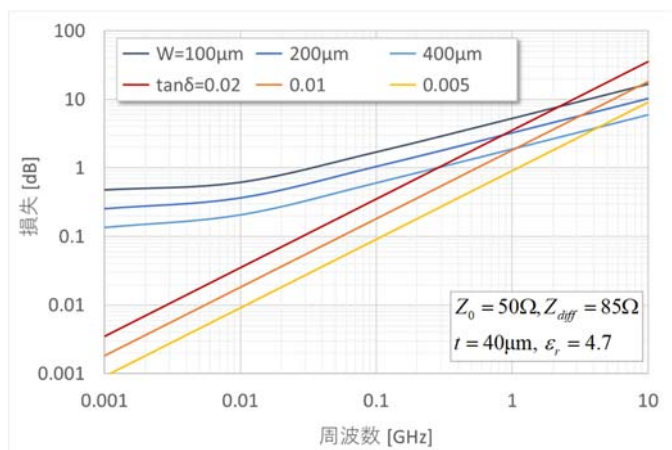


図 7 ボード損失の周波数特性

### 参考文献

- 1) 碓井有三：“ボード設計者のための分布定数回路のすべて 第 3 版”，自費出版，  
(<http://home.wondernet.ne.jp/~usuiy/>) , pp.171-173, 2016
- 2) 碓井 有三：“ボード上の GHz 動作 定量分析が最適な処方箋”，日経エレクトロニクス, No.812,

p.113, 2002 年

- 3) 碓井 有三：“高周波高速伝送路設計の基礎”，マイクロウェーブ ワークショップ MWE2016 基礎講座, pp.1-5, <https://apmc-mwe.org/mwe2017/pdf/tut16/WE3B-1.pdf>, 2016 年
- 4) 前掲 1), pp.190-192

02 版 図 6 および図 7 差し替え